

Quantum NV Sieve on Grover for Solving Shortest Vector Problem

<https://youtu.be/-VCd44r-tTk>

Contribution

- Quantum NV Sieve 구현 후, Grover's search를 적용
- Quantum NV Sieve의 자원 추정 (오라클, 그루버)
- 고차원에서 동작 가능한 Quantum NV Sieve를 위한 최적 구현
- 격자 기반 암호에 대한 암호 분석의 연구 범위 확장

배경지식

- KISTI 때 했던 것들이라 넘어가도록 하겠습니다.
 - Lattice, Basis, Approximate (LLL), Exact (Sieve) 알고리즘
 - Approximate 알고리즘 (고차원 격자) → Exact 알고리즘 (저차원 격자) ; 하이브리드

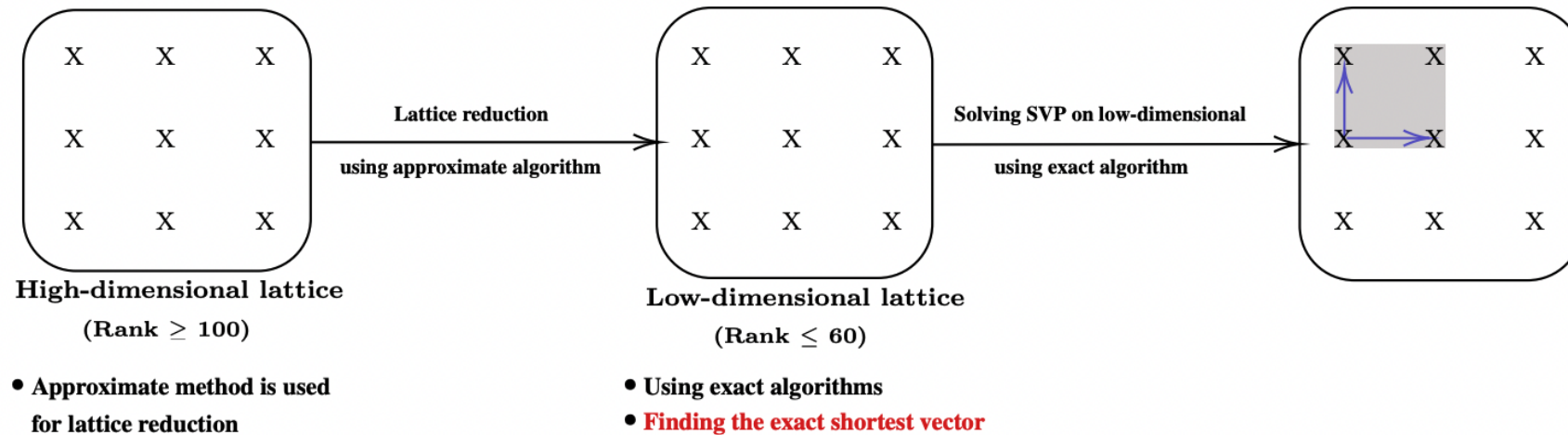


Fig. 2: Flow chart of approximate and exact algorithms for solving SVP.

NV Sieve

- NV Sieve의 목적
 - 짧은 벡터 손실 최소화 하며 범위 줄여나가면서 짧은 벡터 찾기
 - Sieve 알고리즘 세부 동작도 넘어가도록 하겠습니다. ($v - c$ 가 결국 구현해야하는 로직의 핵심)

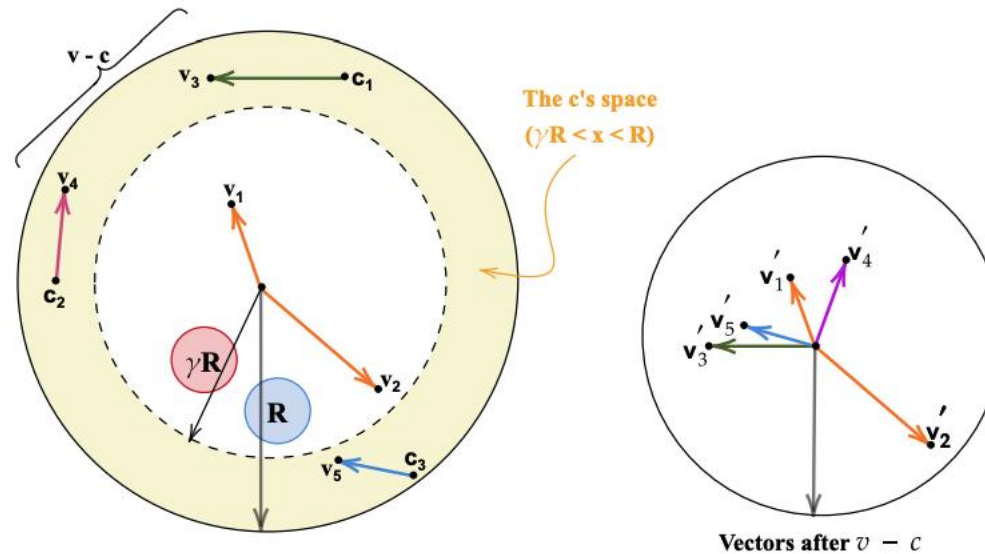


Fig. 5: The core logic in NV Sieve ($\exists c \in C \|v - c\| \leq \gamma R$).

Quantum NV Sieve 전체 회로 (핵심 로직 위주)

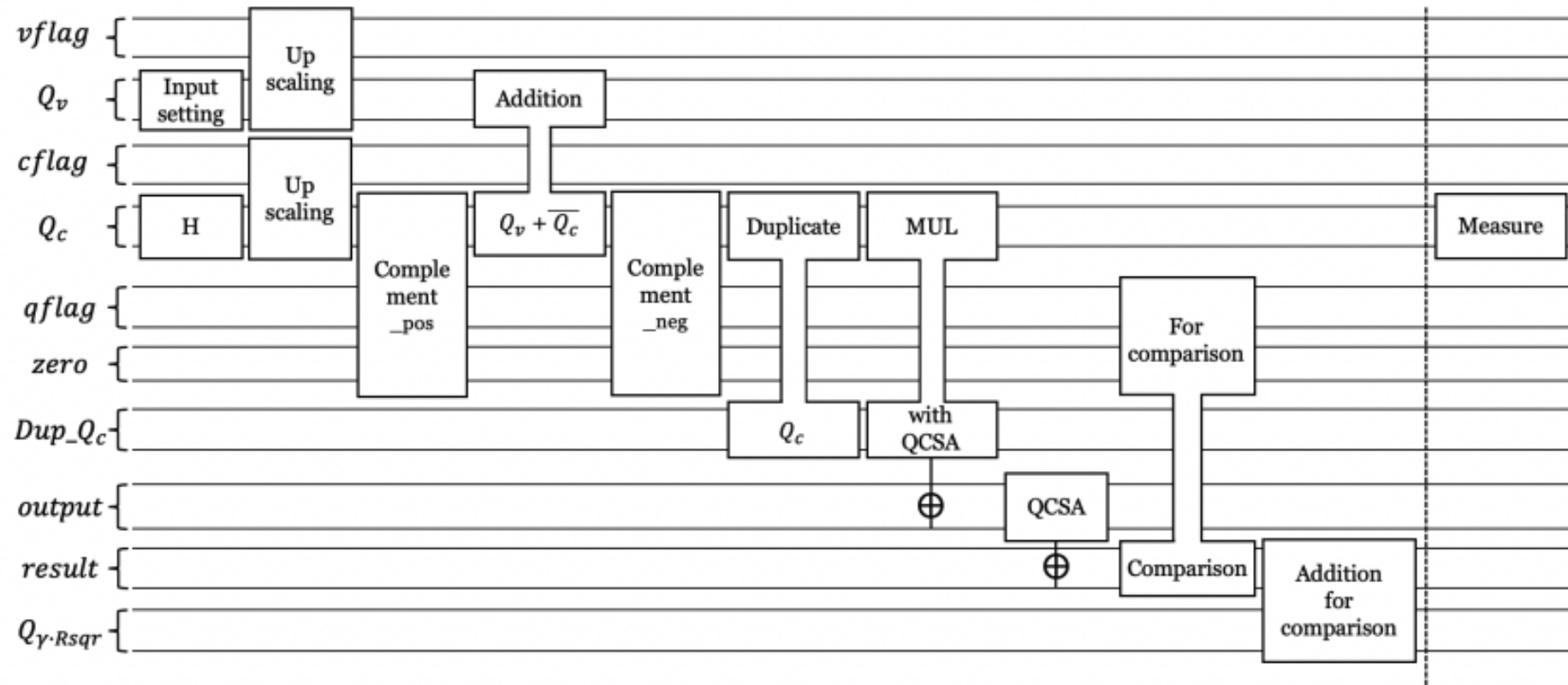


Fig. 6: Overall Quantum Circuit for Quantum NV Sieve.

Quantum NV Sieve 전체 로직

Algorithm 3: The quantum NV Sieve on the quantum circuit.

Input: Reduced lattice vector $(\{v_0, \dots, v_n\})$, dimension and rank of the lattice, A subset S in L and sieve factor γ ($\frac{2}{3} < \gamma < 1$)

Output: $\{c_0, \dots, c_n\}$

1: Initiate quantum and classical registers ($carry, qflag, cflag, \gamma \cdot R_{sqr}, zero, c_n$.)

2: Let Q_v and Q_c be the qubits for lattice vectors v and c

▷ Q_c is the search target

3: Let $Q_{\gamma \cdot R_{sqr}}$ be the qubits for square of $\gamma \cdot R$

4: // **STEP 0: Extend dim and rank for addressing the overflow**

5: $dim \leftarrow dimension + 2, rank \leftarrow rank$

6: $sqr_bitsize \leftarrow 2 \cdot dim$

7: // **STEP 1: Input setting** ($Q_v, Q_c, Q_{\gamma \cdot R_{sqr}}$)

8: $Q_{v_0}, \dots, Q_{v_n} \leftarrow v_0, \dots, v_n$

▷ Using X gate

9: All(H)| Q_c

▷ $0 \leq i < sqr_bitsize$

10: $Q_{\gamma \cdot R_{sqr}} \leftarrow \gamma \cdot R_{sqr}$

11: // **STEP 2: Upscaling to address overflow**

12: **for** i **in** $rank$ **do**

13: UPSCALING($Q_v[i], vflag[i]$)

14: **end for**

15: // **STEP 3: Two's complement for subtraction using adder**

16: **for** i **in** $rank$ **do**

17: COMPLEMENT_pos($Q_c[i], qflag[i], zero$)

▷ Outputs are $\overline{Q_c}$

18: **end for**

19: // **STEP 4:** $Q_v + \overline{Q_c}$ ($= Q_v - Q_c$)

20: **for** i **in** $rank$ **do**

21: TAKAHASHI_ADDER($Q_v[i], Q_c[i]$)

▷ Store to $Q_c[i]$, [21]

22: **end for**

23: // **STEP 5: Two's complement for correct squaring**

24: **for** i **in** $rank$ **do**

25: COMPLEMENT_neg($Q_c[i], qflag[rank + i], zero$)

26: **end for**

27: // **STEP 6: Duplicating qubit for squaring**

28: $Dup_Q_c \leftarrow Q_c$

29: // **STEP 7: Squaring elements of vectors** (Q_c and Dup_Q_c)

30: **for** i **in** $rank$ **do**

31: $output[i] = MUL(Q_c[i], Dup_Q_c[i])$

32: **end for**

33: // **STEP 8: Addition for squared results to obtain the size of the vector**

34: $result \leftarrow QCSA(output)$

35: // **STEP 9: Two's complement with $sqr_bitsize$**

36: COMPLEMENT_compare($result[0 : sqr_bitsize], qflag[2 \cdot (rank - 2)], zero$)

37: // **STEP 10: Size comparison between $Q_{\gamma \cdot R_{sqr}}$ and $(\|Q_v - Q_c\|)^2$**

38: TAKAHASHI_ADDER($Q_{\gamma \cdot R_{sqr}}, result[0 : sqr_bitsize]$)

39: // **STEP 11: Measurement**

40: All(Measure)| Q_c

41: **return** $\{c_0, \dots, c_n\}$

Up-scaling

- 오버플로우 방지를 위한 과정
- 상위 2비트를 추가하고, 데이터의 최상위 비트의 값을 최상위 2비트에 복사함으로써 업스케일링 (동일 값)

Algorithm 4: Quantum implementation for UPSCALING function

Input: $(Q_v[i], vflag)$ or $(Q_c[i], cflag)$, and dim

Output: $Q_v[i]$ or $Q_c[i]$

```
1: // Copy the MSB to the upper 2 qubits using CNOT gate
2: CNOT( $Q_v[i][dim - 3], vflag[i]$ )
3: CNOT( $vflag[i], Q_v[i][dim - 2]$ )
4: CNOT( $vflag[i], Q_v[i][dim - 1]$ )

5: CNOT( $Q_c[i][dim - 3], cflag[i]$ )
6: CNOT( $cflag[i], Q_c[i][dim - 2]$ )
7: CNOT( $cflag[i], Q_c[i][dim - 1]$ )

8: return  $Q_v[i]$  or  $Q_c[i]$ 
```

Complement

Algorithm 5: Quantum implementation for COMPLEMENT_pos function

Input: $Q_c[i]$, $qflag[i]$, $zero$

Output: Q_c or $\overline{Q_c}$

```
1: // Copy the MSB of  $Q_c$  to  $qflag$  to check the sign bit
2: CNOT( $Q_c[dim - 1]$ ,  $qflag$ )

3: // Invert  $qflag$  to take complement only when positive
4: X| $qflag$ 

5: // Invert  $Q_c$ 
6: for  $i$  in  $dim$  do
7:   CNOT|( $qflag$ ,  $Q_c[i]$ )
8: end for

9: // Create a new array of qubits and append  $qflag$  to LSB
10:  $NEW\_Q_c = []$ 
11:  $NEW\_Q_c.append(qflag)$ 

12: // Append 0 so that it has the same length as  $Q_c$ 
13: for  $i$  in  $dim - 1$  do
14:    $NEW\_Q_c.append(zero[i])$ 
15: end for

16: // Addition for  $LSB + 1$ 
17: TAKAHASHI-ADDER( $NEW\_Q_c$ ,  $Q_c$ )

18: return  $Q_c$  or  $\overline{Q_c}$ 
```

Positive / Negative

Algorithm 6: Quantum implementation for COMPLEMENT_neg function

Input: $Q_c[i]$, $qflag[i]$, $zero$

Output: Q_c or $\overline{Q_c}$

```
1: // Copy the MSB of  $Q_c$  to  $qflag$  to check the sign bit
2: CNOT( $Q_c[dim - 1]$ ,  $qflag$ )

3: // Invert  $Q_c$  (no need X gate for  $qflag$ )
4: for  $i$  in  $dim$  do
5:   CNOT|( $qflag$ ,  $Q_c[i]$ )
6: end for

7: // Create new array of qubits and append  $qflag$  to LSB
8:  $NEW\_Q_c = []$ 
9:  $NEW\_Q_c.append(qflag)$ 

10: // Append 0 so that it has the same length as  $Q_c$ 
11: for  $i$  in  $dim - 1$  do
12:    $NEW\_Q_c.append(zero[i])$ 
13: end for

14: // Addition for  $LSB + 1$ 
15: TAKAHASHI-ADDER( $NEW\_Q_c$ ,  $Q_c$ )

16: return  $Q_c$  or  $\overline{Q_c}$ 
```

Multiplication (Squaring)

- 현준님의 QCSA를 일부 사용
 - 전체 Depth를 매우 줄였음
 - 제 케이스 (높은 차원의 벡터)에서 약간의 오류가 발견되어 코드 수정
 - 해당 코드에서 맨 마지막에 큐비트 재사용을 위해 reverse 하는 부분은 사용하지 않음으로써 자원 절약 (본 작업에는 필요하지 않았음)
 - Takahashi 사용하여 ancilla 큐비트 사용 x
→ 뎁스 최적화 위해서는 추후 다른 가산기 사용할 예정

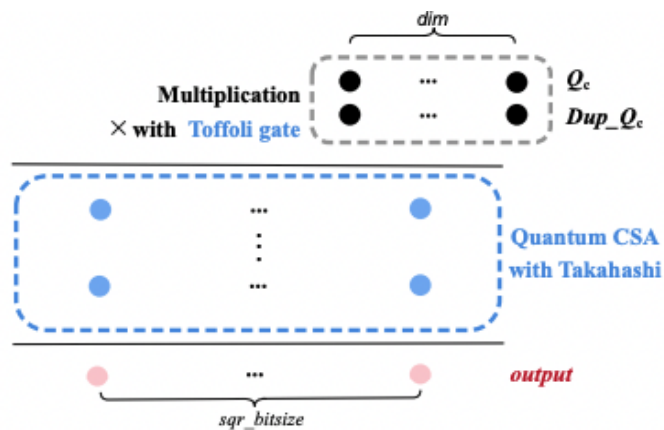


Fig. 7: Squaring using QCSA with Takahashi adder.

Algorithm 7: Quantum implementation for MUL function

Input: $Q_c[i], Dup_Q_c[i]$

Output: $output[0 : sqr_bitsize]$

```

1: // Setting for multiplication
2: Let  $a$  be  $Q_c[i]$ .
3: Let  $b$  be  $Dup\_Q_c[i]$ .
4:  $input = [[0 \text{ for } i \text{ in } do(sqr\_bitsize)] \text{ for } j \text{ in } do(dim)]$ 

5: // Multiply all elements of  $Q_c[i]$  and  $Dup\_Q_c[i]$  using Toffoli gate
6: for  $i$  in  $dim$  do
7:   for  $j$  in  $dim$  do
8:     Toffoli( $a[i], b[j], input[i][i + j]$ )
9:   end for
10: end for

11: // Addition of the results for each element at once
12:  $output = QCSA(input)$ 

13: return  $output[0 : sqr\_bitsize]$ 

```

오라클 정확성 확인

- 테스트 벡터 넣어서 실제 계산과 맞는지 확인
- 연산 결과 정상 + 음수일 때 MSB=1, 양수일 때 0 나오면 정상

Table 1: Results from each step of quantum NV Sieve to check whether it has been implemented correctly (Rank and Dimension are 5; $rank = 5$, $dim = 7$, and $sqr_bitsize = 14$).

STEP (Alg. 3)	Quantum variable	Values
STEP 1	Q_v	$\{1, 3, 1, 1, 5\}$
	Q_c	$\{8, 1, 4, 4, 6\}$
	$Q_{\gamma \cdot R_{sqr}}$	32
STEP 2	Q_v	$\{1, 3, 1, 1, 5\}$
	Q_c	$\{8, 1, 4, 4, 6\}$
	$Q_{\gamma \cdot R_{sqr}}$	32
STEP 3	$\overline{Q_c}$ (when positive)	$\{-8, -1, -4, -4, -6\}$
STEP 4	$Q_v + \overline{Q_c}$	$\{-7, 2, -3, -3, -1\}$
STEP 5	$\overline{Q_v + \overline{Q_c}}$ (when negative)	$\{7, 2, 3, 3, 1\}$
STEP 6	$Dup.Q_c$	$\{7, 2, 3, 3, 1\}$
STEP 7	$\overline{Q_c} \cdot Dup.Q_c$ (Squaring for each element)	$\{49, 4, 9, 9, 1\}$
STEP 8	$Sum.Q_c$	72
STEP 9	$\overline{Sum.Q_c}$ (when positive)	-72
STEP 10	$(\gamma \cdot R)^2 + \overline{Sum.Q_c}$	-40
STEP 11	Output	11111111011000 ₍₂₎ (-40)
	MSB	1 (not short vector)

오라클 및 그루버 서치에 대한 비용 추정

Table 2: Resource Estimation of quantum NV Sieve oracle (R10D10 means the rank and the dimension of the lattice are 10).

Case	#CNOT	#1qCliff	#T	T -depth (Td)	Full depth (FD)	Qubit (M)	Td - M	FD - M
R10D10	$2^{16.1767}$	$2^{13.9067}$	$2^{15.7118}$	$2^{7.6037}$	$2^{11.5264}$	$2^{12.5454}$	$2^{20.1491}$	$2^{24.0718}$
R20D20	$2^{18.9097}$	$2^{16.6143}$	$2^{18.4212}$	$2^{8.4470}$	$2^{14.2190}$	$2^{15.2640}$	$2^{23.7110}$	$2^{29.4830}$
R30D30	$2^{20.5672}$	$2^{18.2624}$	$2^{20.0695}$	$2^{8.9454}$	$2^{15.2810}$	$2^{16.9202}$	$2^{25.8656}$	$2^{32.2012}$
R40D40	$2^{21.7859}$	$2^{19.4808}$	$2^{21.2880}$	$2^{9.3531}$	$2^{16.0566}$	$2^{18.1329}$	$2^{27.4860}$	$2^{34.1896}$
R50D50	$2^{22.6998}$	$2^{20.3885}$	$2^{22.1958}$	$2^{9.6165}$	$2^{16.6674}$	$2^{19.0527}$	$2^{28.6692}$	$2^{35.7201}$
R60D60	$2^{23.4836}$	$2^{21.1729}$	$2^{22.9802}$	$2^{9.8595}$	$2^{17.1715}$	$2^{19.8329}$	$2^{29.6924}$	$2^{37.0044}$
R70D70	$2^{24.1348}$	$2^{21.8228}$	$2^{23.6301}$	$2^{10.0660}$	$2^{17.6005}$	$2^{20.4848}$	$2^{30.5508}$	$2^{38.0853}$

Table 3: Quantum cost for Grover's search on quantum NV Sieve.

Case	#Total gates	T -depth (Td)	Full depth (FD)	Qubit (M)	Quantum cost	Td - M	FD - M
R10D10	$2^{18.1267}$	$2^{8.6073}$	$2^{12.5264}$	$2^{12.5456}$	$2^{30.6532} \cdot r$	$2^{21.1529}$	$2^{25.0720}$
R20D20	$2^{20.8481}$	$2^{9.4470}$	$2^{15.2190}$	$2^{15.2640}$	$2^{35.0664} \cdot r$	$2^{24.7110}$	$2^{32.4830}$
R30D30	$2^{22.5012}$	$2^{9.9454}$	$2^{16.2810}$	$2^{16.9202}$	$2^{37.7823} \cdot r$	$2^{26.8656}$	$2^{33.2012}$
R40D40	$2^{23.7199}$	$2^{10.3531}$	$2^{17.0566}$	$2^{18.1329}$	$2^{39.7765} \cdot r$	$2^{28.4860}$	$2^{35.1895}$
R50D50	$2^{24.6308}$	$2^{10.6165}$	$2^{17.6674}$	$2^{19.0527}$	$2^{41.2938} \cdot r$	$2^{29.6692}$	$2^{36.7201}$
R60D60	$2^{25.4150}$	$2^{10.8595}$	$2^{18.1715}$	$2^{19.8329}$	$2^{42.5865} \cdot r$	$2^{30.6924}$	$2^{38.0044}$
R70D70	$2^{26.0655}$	$2^{11.0660}$	$2^{18.6005}$	$2^{20.4848}$	$2^{43.6661} \cdot r$	$2^{31.5509}$	$2^{39.0853}$

양자 비용의 예상치.. 흐름..

- Dim 10 증가 시마다 로그함수처럼 증가
- Iteration=1 일 때의 값이긴 한데, KISTI때 봤던 결과를 적용하면 iteration이 그렇게 높지는 않을 것 (적어도 $\frac{\pi}{4}\sqrt{N/M}$ 보단 작음)

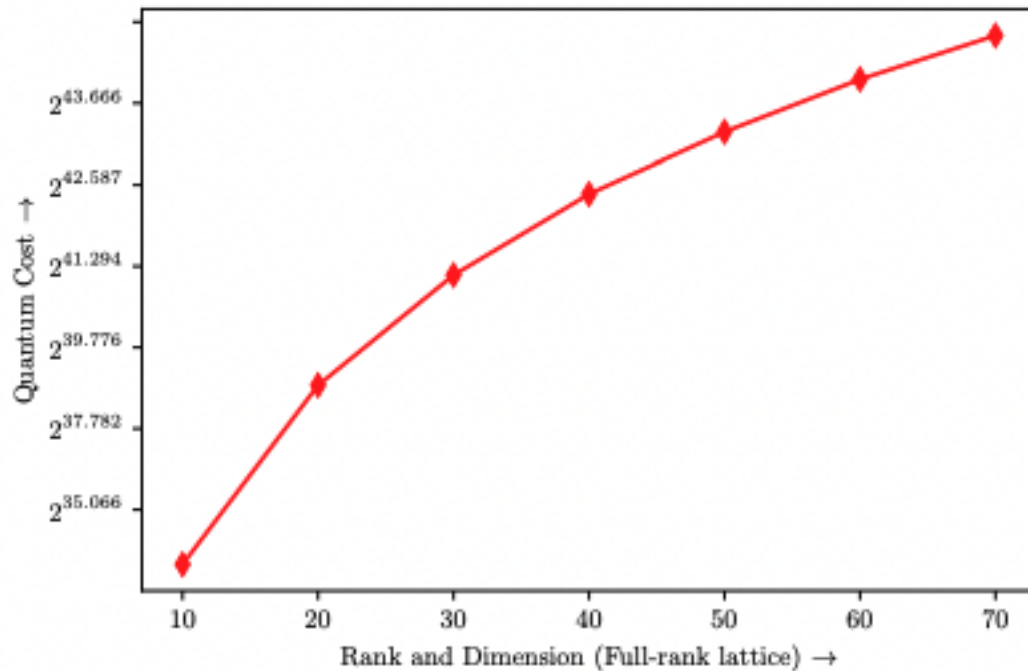


Fig. 8: Quantum cost for quantum NV Sieve on Grover's search ($r = 1$)

Further Discussions

- 다른 양자 공격의 양자 비용과의 비교
 - 70차원의 격자에 대해서도 64-bit 대칭키에 대한 그루버 서치 비용의 제공근 정도
- 추가적인 최적화 포인트
 - QCSA에 사용한 adder가 큐비트를 줄이는 장점이 있음
 - 차라리 depth 최적화에 집중하도록 다른 adder를 사용하는 게 나을 듯
- NV Sieve의 복잡도와 관련된 사항
 - 다수의 솔루션 : 솔루션이 여러 개이므로 적합한 iteration을 찾는 것 중요, 그러나 앞서 언급했듯이 그렇게 크진 않을 듯
 - 검색 공간 (N) : 랭크와 디멘션에 의해 결정 ($N = 2^{rank \cdot dim}$) → 랭크와 디멘션이 커질 수록 해결 복잡도 높아짐
 - 입력 벡터 중 가장 긴 벡터인 R과 입력 벡터 v : 결과적으로 복잡도에 직접적 영향을 주는 건 R임
 - 범위를 줄이는 sieve factor γ 도 R과 곱해지는 것이기 때문
 - 즉, 애초에 랜덤 샘플링에서 뽑히는 벡터 집합 v에서의 R이 영향을 줌
- Quantum Query Complexity
 - 오라클 적합성은 확인했으므로, 결과적으로 차원이 높아질수록 $O(\sqrt{N})$ 을 따를 것 (KISTI 때 언급)

Conclusion

- 높은 차원에 대한 정확한 quantum NV Sieve 구현
 - 10~70차원까지 모두 구현하였으며, 정상동작 확인
- QCSA with Takahashi
 - Depth 감소 + 큐비트 절약
 - 해당 방식이 이전 구현보다 더 높은 차원의 격자에서도 더 효율적인 양자 회로를 구현할 수 있음을 의미
 - 이전 구현에 비해:
 - 랭크 및 디멘션이 70차원인 격자에 대한 T-depth : $2^{10.066}$
 - 랭크가 2, 디멘션이 4차원인 (이전 구현)의 T-depth: $2^{10.778}$
- NIST post-quantum security standard
 - Level 1 : 2^{157} : AES 128에 대한 Grover's search 복잡도
 - 랭크 및 디멘션이 70인 경우에도, 이보다 굉장히 낮은 비용

R70D70	$2^{26.0655}$	$2^{11.0660}$	$2^{18.6005}$	$2^{20.4848}$	$2^{43.6661}$	$2^{31.5509}$	$2^{39.0853}$
--------	---------------	---------------	---------------	---------------	---------------	---------------	---------------

- 물론, 이는 전체 격자에 대한 복잡도는 아님 (암호에서는 보통 500 이상)
 - 500차원에서 70까지 줄이는 알고리즘인 LLL에 대한 자원 추정도 필요
 - Quantum LLL도 이론? 수학적으로는 나와있으나 구현을 한 것 같지는 않아서 구현할 예정)

세미나 늦지 않습니다.